

Partie A : Etude du capteur optique

Mesure de turbidité d'un liquide

1. Caractéristiques de la photodiode :

$$11. \quad \lambda = 850 \text{ nm} \quad \rightarrow \quad \Delta d = 0,3 \text{ A/W.}$$

$$12. \quad \Phi = \frac{I_p}{5d} A \quad \Rightarrow \text{ s'exprime en W}$$

2. Montage photovoltaïque en régime continu :

$$21. \text{ réaction négative} \quad \sigma^+ = \sigma^- \text{ (ALT idéal)} \rightarrow \sqrt{\sigma} = 0.$$

$$\text{couant d'obscurité } I_o = I_s (1 - e^{\phi}) = 0$$

$$22. \quad V_o = R \cdot I_r$$

$$\text{comme } I_0 = 0 \quad I_r = I_p = S_d \cdot \bar{\Phi}$$

donc $V_0 = R S_d \cdot \Phi$ V_0 proportionnelle au flux lumineux Φ reçu.

$$23. \quad S_c = \frac{V_o}{\Phi} = R \cdot S_d$$

$$A.N. \quad S_c = 6,65 \cdot 10^6 \times 0,3 = 1,995 \text{ V/W} \times 10^6$$

$$\text{soit } 1,995 \cdot 10^{-3} \text{ V/mW}$$

$$\text{soit } 1,995 \text{ mV/mW}$$

24. pour améliorer la sensibilité du capteur, on peut augmenter R.

3. Etude du montage photovoltaïque en régime variable:

$$31. \text{ pour l'AD544, } G_{\text{MAX}} = 94 \text{ dB} \quad A_0 = 10^{94/20} = 5 \cdot 10^4.$$

$$f_{coupure} = 35 \text{ Hz.}$$

$$T = \frac{1}{\omega_r} = \frac{1}{2\pi f_c} = 4,5 \text{ ms.}$$

$$32. \text{ en B.O.}, \quad T = \frac{\pi}{m} \cdot A_d = K$$

$$33. \quad V_o = A_d \cdot \underline{E} = A_d \left(\underline{V}' - \underline{R} \right) = A_d \left(\underline{V}' - \underline{E} \underline{V}_o \right)$$

$$V_o (1 + \underline{A_d} K) = \underline{A_d} V'$$

$$\frac{V_o}{V'} = \frac{\underline{A}d}{1 + \underline{A}d \cdot K} = \frac{\underline{A}d}{1 + T}$$

34. limite d'instabilité $T = -1$

$$35 - M\varphi = 90^\circ.$$

36. la marge de phase est supérieure à 45° \rightarrow le système est stable grâce à C₂

Partie B = Traitement du signal issu du capteur

1. Méthode n°1 = utilisation d'un filtre sélectif

11. Le filtre sélectif a pour but d'extraire le signal utile $s(t)$ de fréquence 1,25 kHz et d'atténuer au maximum le bruit (ici à la fréquence 1,35 kHz pour simplifier). La fréquence centrale du filtre sélectif doit donc être égale à $f_0 = 1,25 \text{ kHz}$.
12. Q est le facteur de qualité ou de sélectif. Si Q augmente, le bruit sera d'autant plus atténué.
13. $Q = \frac{f_0}{\Delta f}$ donc $\Delta f = \frac{f_0}{Q} = 42 \text{ Hz}$.

14. $\tilde{a} f = f_b$, $|A| = 1$

$$\tilde{a} f = f_b, \quad A = \frac{1}{1 + j Q \left(\frac{f_b}{f_0} - \frac{f_0}{f_b} \right)} = \frac{1}{1 + j \cdot 30 \left(\frac{1350}{1250} - \frac{1250}{1350} \right)} = \frac{1}{1 + j 4,62}$$

$$|A| = \frac{1}{\sqrt{1+4,62^2}} = 0,211.$$

15. $\hat{U}_o = \hat{S}$ $\hat{U}_b = 0,211 \times \hat{B}$

161. $P_s = \frac{S_{off}^2}{R_n} = \frac{\hat{S}^2}{2R_n}$ $P_b = \frac{\hat{B}^2}{2R_n}$

162. en entrée $\left(\frac{S}{N}\right)_e = 10 \log \frac{\hat{S}^2}{\hat{B}^2} = 20 \log \frac{\hat{S}}{\hat{B}} = 0 \text{ dB.}$

163. en sortie $\left(\frac{S}{N}\right)_s = 10 \log \frac{\hat{S}^2}{(0,211 \times \hat{B})^2} = 20 \log \frac{\hat{S}}{0,211 \cdot \hat{B}} = 20 \log \frac{1}{0,211} = -20 \log (0,211) = 13,5 \text{ dB.}$

164. le filtre sélectif permet d'améliorer le rapport signal/bruit (parce que l'on atténue le bruit tout simplement!!)

165. pour améliorer le rapport S/N, il faut augmenter le facteur de qualité Q du filtre (filtre plus sélectif)

166. le facteur de qualité Q d'un filtre analogique est limité!

17.1. l'amplitude de $u(t)$ donne une information sur la turbidité: plus U_{MAX} est élevée, plus la turbidité est faible.

17.2. on peut détecter U_{MAX} avec un circuit diode + résistance + condensateur (extracteur de maximum)

Méthode n° 2 : utilisation d'une détection synchrone

21. $u'(t) = K \cdot v(t) \cdot v_c(t) = K [s(t) + b(t)] \cdot v_c(t)$

22. $u'(t) = K \hat{s} \cos(\omega_o t) \cdot \hat{v}_c \cos(\omega_o t) + K \hat{b} \cos(\omega_b t) \cdot \hat{v}_c \cos(\omega_o t)$

$$u'(t) = \frac{1}{2} K \hat{s} \hat{v}_c [\cos(2\omega_o t) + 1] + \frac{1}{2} K \hat{b} \hat{v}_c (\cos[(\omega_b - \omega_o)t] + \cos[(\omega_b + \omega_o)t])$$

composante continue $U'_0 = \frac{1}{2} K \hat{s} \hat{v}_c$

composante de fréquence $f_1 = \frac{\omega_b - \omega_o}{2\pi} = f_b - f_o$ d'amplitude $U'_1 = \frac{1}{2} K \hat{b} \hat{v}_c$

composante de fréquence $f_2 = 2f_o$ d'amplitude $U'_2 = \frac{1}{2} K \hat{s} \hat{v}_c$

composante de fréquence $f_3 = \frac{\omega_b + \omega_o}{2\pi} = f_b + f_o$ d'amplitude $U'_3 = \frac{1}{2} K \hat{b} \hat{v}_c$

23. $U'_0 = \frac{1}{2} \cdot 1 \times 0,3 \times 1 = 0,15V$

$$f_1 = 0,1\text{kHz} \quad U'_1 = 0,15V \quad f_2 = 2,50\text{kHz} \quad U'_2 = 0,15V \quad f_3 = 2,60\text{kHz} \quad U'_3 = 0,15V$$

24. \hat{s} est présent dans la composante continue et la composante de fréquence 2,5kHz. Le bruit ne joue pas sur ces deux composantes, mais sur les deux autres à 100Hz et 2600Hz.

252. la fréquence de coupure doit être égale à $\frac{f_b - f_o}{1000}$ soit 0,1Hz.

261. $\left(\frac{S}{N}\right)_s' = 20 \log \frac{\frac{V_{so}}{\sqrt{10^3}}}{\frac{V_{so}}{10^3}} = 20 \log 10^3 = 60\text{dB}$.

262. le rapport signal/bruit est nettement supérieur avec la détection synchrone. On gagne $60 - 13,5 = 46,5\text{dB}$. (soit 200 fois environ).

263. pour augmenter ce rapport S/N, il faut diminuer encore f_c donc augmenter le temps de réponse.

27. Etude du multiplicateur à découpage:

271. théorème de Nillman. $v^- = \frac{1}{2} (v + u')$

272. a) $v_c = 1V$ Hest ouvert

b) $v^+ = v$

c) $v^- = v^+$ entraîne $v = \frac{1}{2}(v + u')$ soit $u' = v$

273. a) $v_c = -1V$ Hest fermé

b) $v^+ = 0$

c) $v^- = v^+$ entraîne $v^- = 0$ soit $u' = -v$

$$275. \quad \begin{cases} \text{si } w_c = 1V & u' = w \\ \text{si } w_c = -1V & u' = -w \end{cases} \quad \left. \begin{array}{l} u'(t) = K \cdot w_c \cdot w \\ \text{avec } K = 1V^{-1} \end{array} \right\}$$

$$276. \quad \langle u'(t) \rangle = 2 \frac{\hat{v}}{\pi}$$

$$277. \quad w_s'(t) = \frac{2\hat{v}}{\pi} \quad \text{les harmoniques 100Hz, 2500Hz, 2600Hz étant très fortement atténués.}$$

PARTIE C : Etude du filtre à moyenne glissante

1. Etude de la résolution :

$$11. \quad q = \frac{5V}{2^{10}} = 4,88mV$$

$$12. \quad n = q \times \frac{\Delta Tu}{\Delta V} = 4,88 \cdot 10^{-3} NTU \quad \text{non conforme à la résolution souhaitée de } 1 \cdot 10^{-3} NTU.$$

13. La plus petite valeur non nulle d'un échantillon y_m correspond à 8 échantillons x_m dont 7 sont nuls et 1 égal à q soit

$$y_{m \text{ mini}} = \frac{4,88mV}{8} = 0,61mV$$

14. L'ensemble CAN + filtre numérique travaille sur une plage de 0 à 5V avec une résolution égale à la valeur minimale de y_n soit $q' = 0,61mV$.

15. n' vaut alors $0,61mV \times \frac{5NTU}{5V} = 0,61 \cdot 10^{-3} NTU$. ; c'est bien conforme au cahier des charges.

2. Bruit de quantification :

21. Le rapport S/N passe de 62 dB (10bits) à 80dB (13bits) soit une amélioration de 18dB.

22. Pour diminuer la densité spectrale de bruit, il faut augmenter la fréquence d'échantillonnage.

3. Etude des caractéristiques du filtre numérique :

31. C'est un filtre non récursif : les échantillons y_n en sortie du filtre ne dépendent que des échantillons x_n en entrée.

32. L'impulsion parasite est fortement atténuée par le filtrage numérique de type passe-bas.

3. après 8 périodes d'échantillonnage, la sortie du filtre retrouve sa situation d'avant l'impulsion parasite = le filtre est donc stable, comme tous les filtres non récursifs.

4. On réduirait encore l'influence de l'impulsion parasite en augmentant le nombre de termes dans l'équation de récurrence du filtre. On augmenterait alors le temps de réponse.

3.3. réponse en fréquence du filtre numérique

1. l'équation de récurrence conduit à $Y(z) = \frac{1}{8} [X(z) + z^{-1} X(z) + z^{-2} X(z) + \dots + z^{-7} X(z)]$

soit $H(z) = \frac{1}{8} (1 + z^{-1} + z^{-2} + \dots + z^{-7})$

suite géométrique de raison z^{-1} , d'où $H(z) = \frac{1}{8} \left(\frac{1 - z^{-8}}{1 - z^{-1}} \right)$

2. $H(jf) = \frac{1}{8} \times \frac{1 - e^{-j8\pi f/F_e}}{1 - e^{-j\pi f/F_e}} = \frac{1}{8} \times \frac{1 - e^{-j16\pi f/F_e}}{1 - e^{-j2\pi f/F_e}}$

3. $H'(f) = \frac{1 \sin(8\pi f/F_e)}{8\pi f/F_e}$

4. le filtre est un filtre passe-bas.

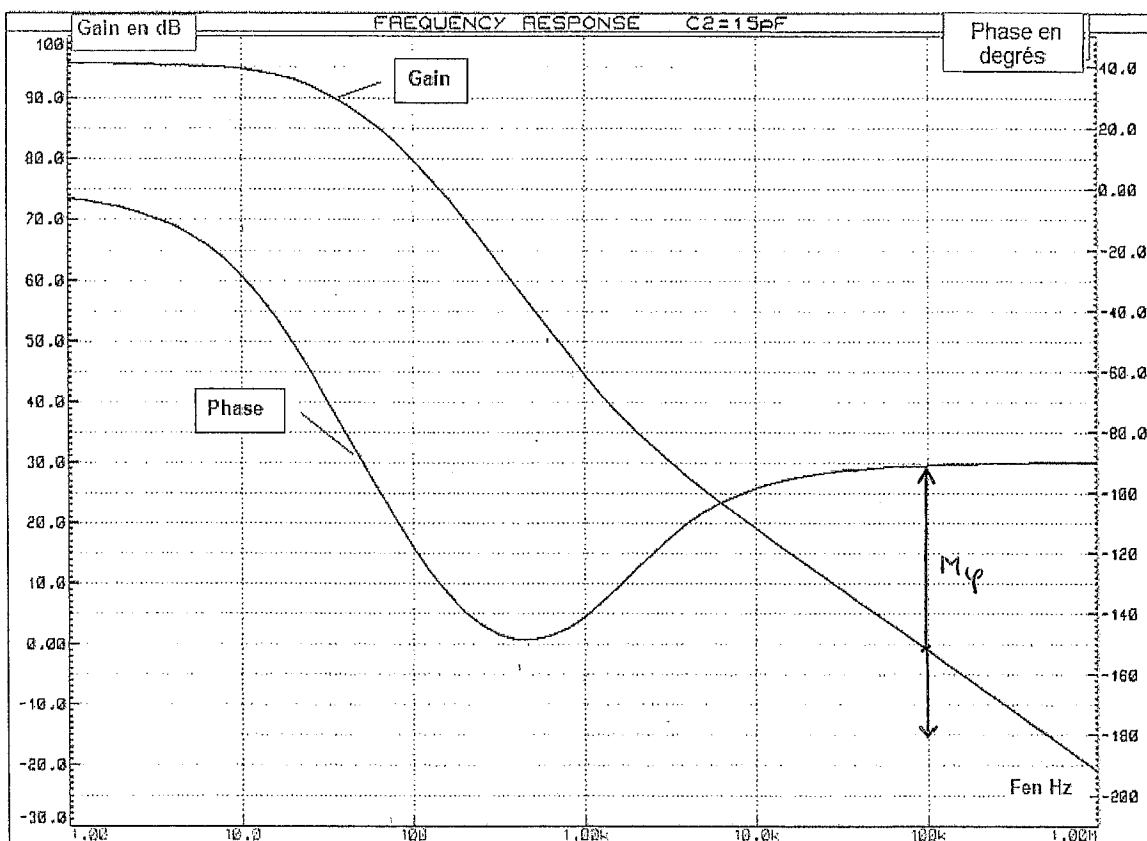
5. $f_c/F_e = 0,055$ donc $F_e = \frac{f_c}{0,055} = \frac{1,4}{0,055} = 25 \text{ Hz}$.

7. le filtrage numérique ne s'effectue correctement que si la condition de Shannon est réalisée : $f < 0,5 F_e$ soit $f < 12,5 \text{ Hz}$.

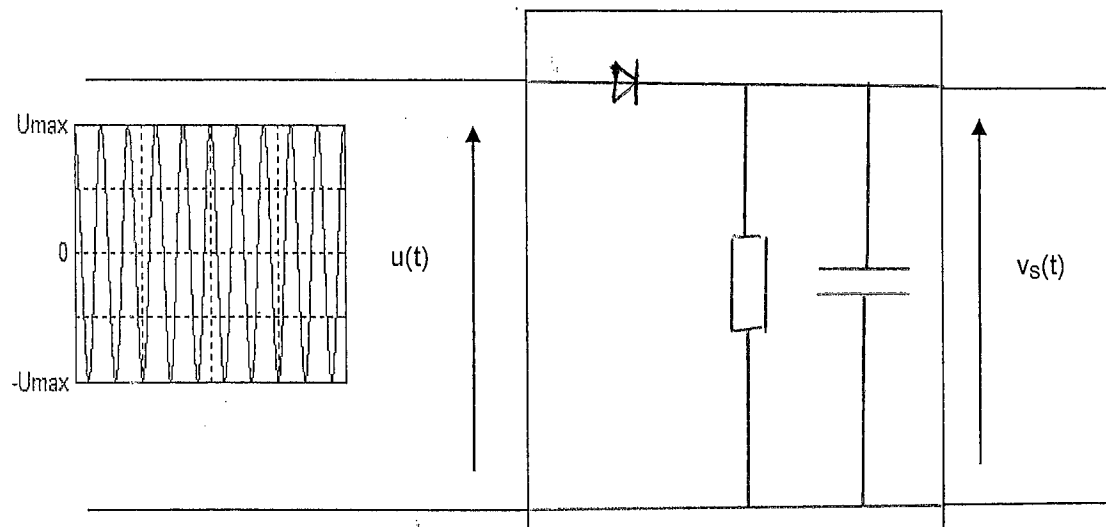
La tension analogique d'entrée du filtre provient de la sortie d'un filtre passe-bas qui coupe les fréquences supérieures à $0,1 \text{ Hz}$.

La condition de Shannon est donc respectée et la mesure de turbidité est correcte.

DOCUMENTS RÉPONSE

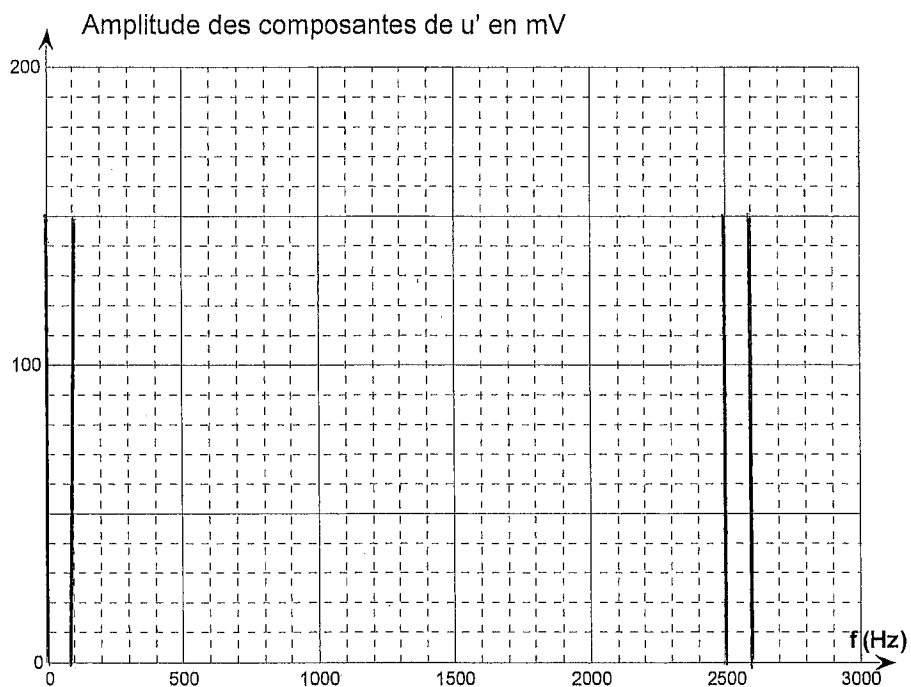


Document réponse n°1

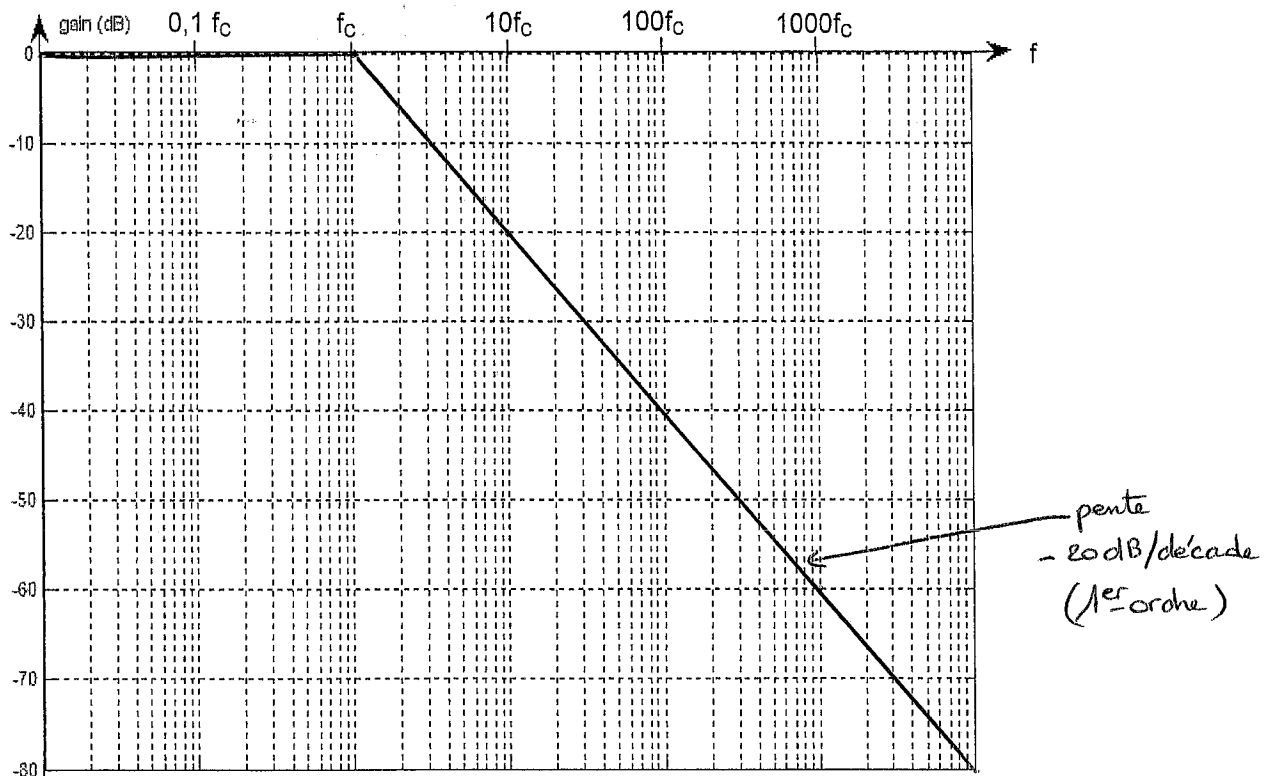


Document réponse n°2

Session 2011	BTS Systèmes Électroniques Épreuve U42- Physique Appliquée	Page BR1 sur 4
11SEE4PA1	Documents Réponse	

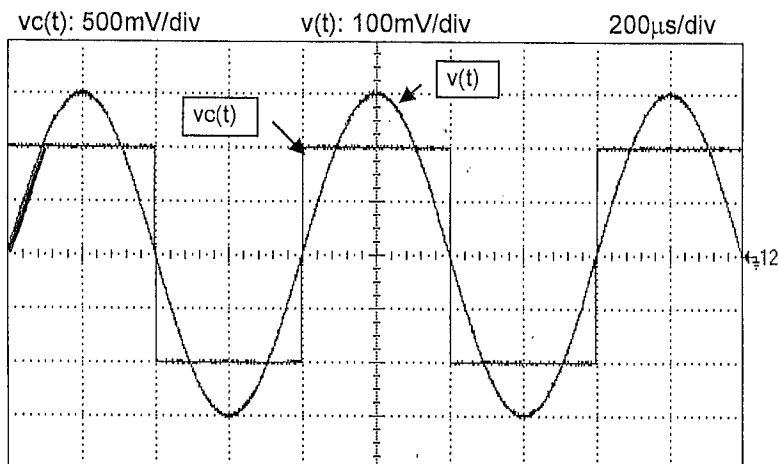


Document réponse n°3

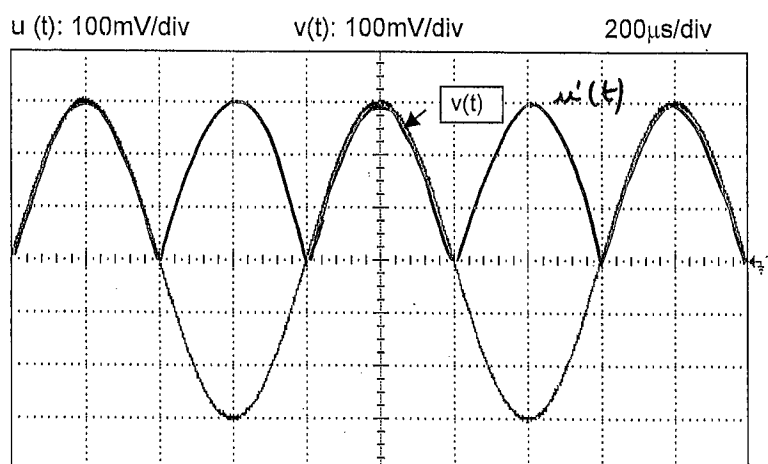


Document réponse n°4

Session 2011	BTS Systèmes Électroniques Épreuve U42- Physique Appliquée Documents Réponse	Page BR2 sur 4
11SEE4PA1		

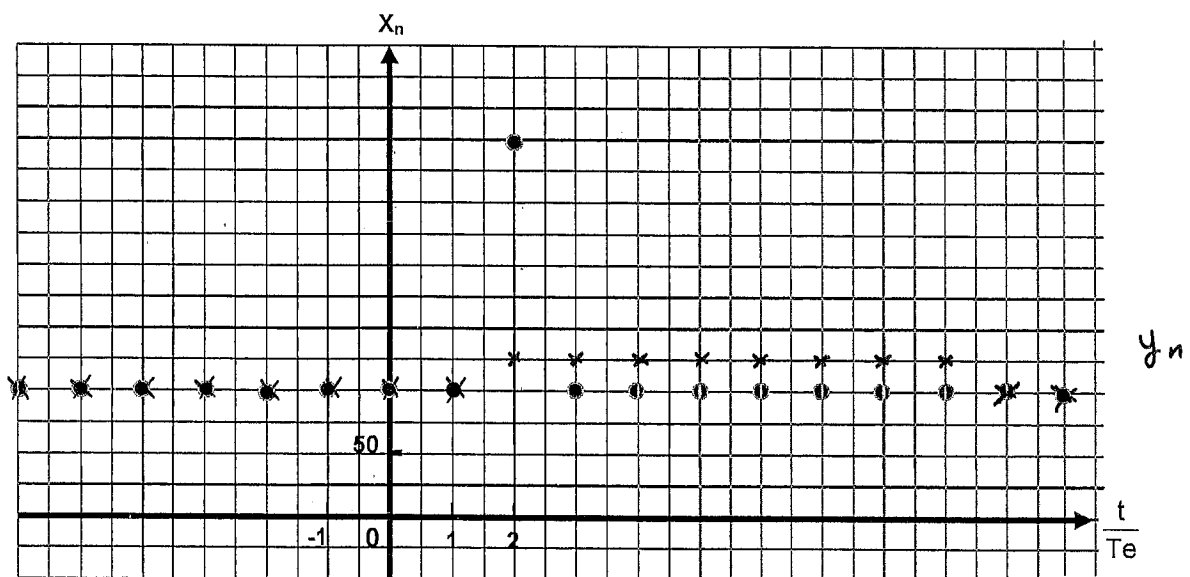


Graphe 1



Graphe 2

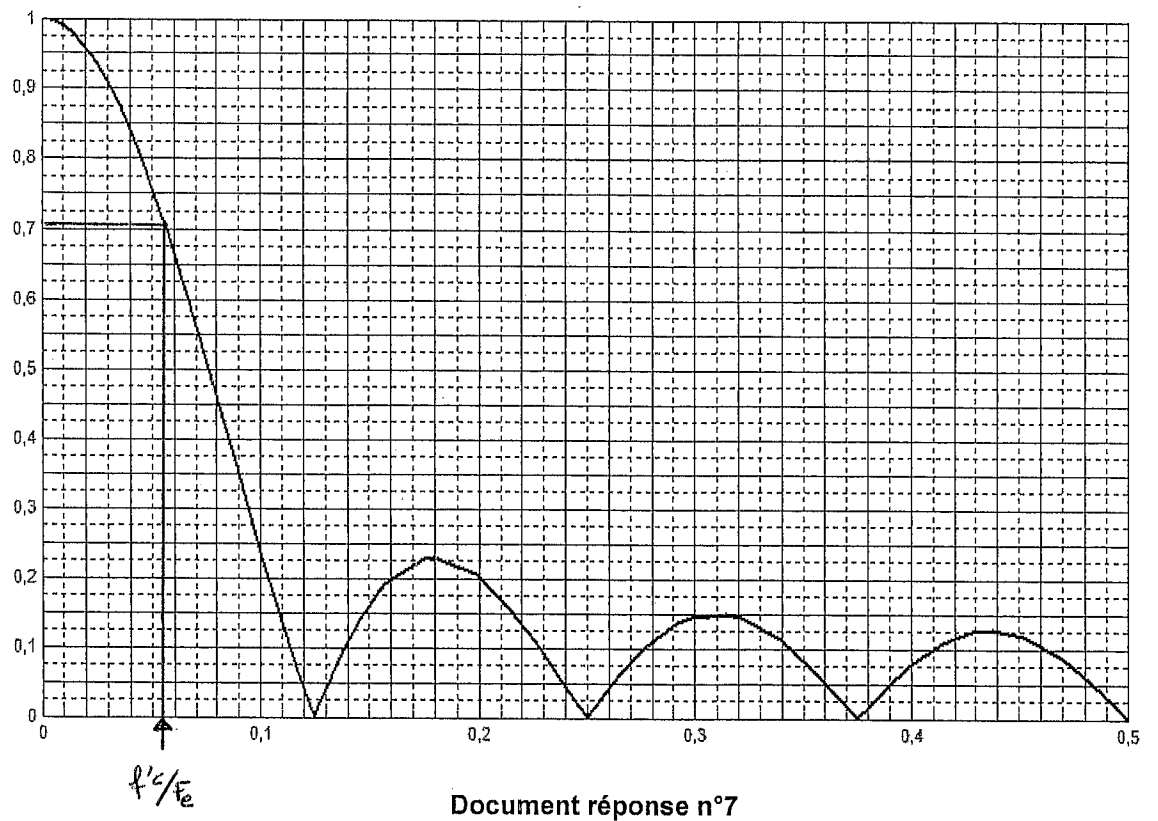
Document réponse n°5



Document réponse n°6

Session 2011	BTS Systèmes Électroniques Épreuve U42- Physique Appliquée	Page BR3 sur 4
11SEE4PA1	Documents Réponse	

H' Module du filtre numérique



Session 2011	BTS Systèmes Electroniques Épreuve U42- Physique Appliquée	Page BR4 sur 4
11SEE4PA1	Documents Réponse	